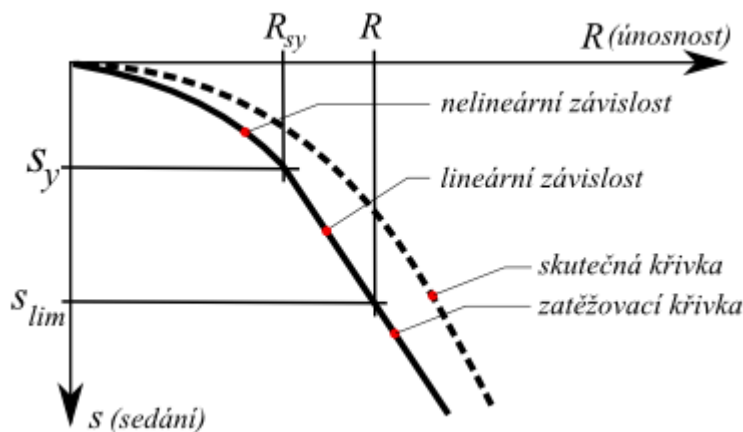


Sedání piloty

Cvičení č. 5

Nelineární teorie (Masopust)

Nelineární teorie sestrojuje zatěžovací křivku piloty za předpokladu, že mezi nulovým zatížením piloty a zatížením, kdy je plně mobilizováno plášťové tření je závislost sedání vyjádřena pomocí paraboly druhého stupně a pro zatížení větší je závislost sedání lineární (viz obrázek). Tato metoda byla odvozena z rovnic regresních křivek určených na základě statistické analýzy výsledků statických zatěžovacích zkoušek pilot a pro stanovení svislé únosnosti používá regresní součinitele.



Zatěžovací křivka piloty

Zadání úlohy - Příklad

Pilotové založení sloupu monolitického skeletu pro svislé provozní zatížení $R=1,8 + 0,08N MN$.

Geol. profil:

- 0,0-0,8: navážka+násyp (úprava staveniště)
- 0,8-1,5: jílovitá hlína písčitá, měkká
- 1,5-5,3: hrubozrnný písek jílovitý, zvodnělý, středně ulehlý, $I_D = 0,7$, $E_{def} = 18,5$ MPa
- 5,3-6,7: pevný slín se střípky slínovců, $I_c = 1$, $E_{def} = 8$, MPa
- 6,7-9,0: navětralý slínovec tvrdý, R5, $E_{def} = 31,5$ MPa

$$E_b = 23 \text{ GPa}$$

Navrženy rotačně vrtané piloty pažené do slínů profilem 1220 mm pomocí ocelové výpažnice a dovrtné bez pažení profilem 1070 mm. Celková délka piloty 8,5 m. Horní 2 vrstvy jsou považovány za neúnosné. Schéma na obr.1.

Plášťové tření pro danou zeminu q_{si}

$$q_{si} = a_i - \frac{b_i}{\frac{D_i}{d_i}}$$

a_i, b_i – regresní koeficienty pro typy zemin viz. Obr.2

D_i – vzdálenost od i-té vrstvy k povrchu terénu

d_i – průměr piloty v i-té vrstvě

hornina		a	b	e	f
poloskalní	R 3	246,02	225,95	2841,31	1298,96
	R 4	169,98	139,45	1616,22	1155,34
	R 5	131,92	94,96	957,61	703,89
nesoudržné	$l_D = 0,5$	62,46	16,06	268,11	174,89
	$l_D = 0,7$	91,22	48,44	490,34	445,42
	$l_D = 1$	154,03	115,88	1596,70	1399,88
soudržné	$l_C = 0,5$	46,39	20,81	197,74	150,22
	$l_C \geq 1, R 6$	97,31	108,59	987,60	1084,26

Obr.2. Regresní koeficienty pro typy zemin

=> průměrné plášťové tření (vážený průměr, váha je mocnost i-té vrstvy (l_i))

$$\bar{q}_{si} = \frac{\sum d_i \cdot l_i \cdot q_{si}}{\sum d_i \cdot l_i}$$

Napětí na patě q_p

$$q_p = e - \frac{f}{\frac{L}{d_p}}$$

e, f – regresní koeficienty pro typy zemin viz. Obr.2

L – délka piloty

d_p – průměr piloty v patě

hornina		a	b	e	f
poloskalní	R 3	246,02	225,95	2841,31	1298,96
	R 4	169,98	139,45	1616,22	1155,34
	R 5	131,92	94,96	957,61	703,89
nesoudržné	$l_D = 0,5$	62,46	16,06	268,11	174,89
	$l_D = 0,7$	91,22	48,44	490,34	445,42
	$l_D = 1$	154,03	115,88	1596,70	1399,88
soudržné	$l_C = 0,5$	46,39	20,81	197,74	150,22
	$l_C \geq 1, R 6$	97,31	108,59	987,60	1084,26

Obr.2. Regresní koeficienty pro typy zemin

Zatížení na mezi plné mobilizaci plášťového tření R_{sy}

$$R_{sy} = \frac{R_{su}}{1 - \beta}$$

R_{su} - mezní síla na plášti

β - koeficient přenosu zatížení do paty

Mezní síla na plášti R_{su}

$$R_{su} = m_1 \cdot m_2 \cdot \pi \sum d_i \cdot l_i \cdot q_{si}$$

m_1 – koeficient druhu zatížení:

$m_1 = 1$ – pro zatížení získáno experimentálně V_{de}

$m_1 = 0,7$ – pro zatížení provozní V_{ds}

m_2 – koeficient eventuální ochrany dřívku:

$m_2 = 1$ – ochrana není aplikována

$m_2 = 0,7$ – ponechána ochrana PVC folii o tloušťce 0,7 mm

$m_2 = 0,5$ – ponechána folii nebo pletivo (systém B)

$m_2 = 0,15$ – ponechána ocelová pažnice

d_i – průměr piloty v i-té vrstvě

l_i – mocnost i-té vrstvy

q_{si} - plášťové tření pro i-tou vrstvu

Koeficient přenosu zatížení do paty β

$$\beta = \frac{q_p}{q_p + 4\overline{q_s} \cdot \frac{L}{d_p}}$$

q_p - Napětí na patě

$\overline{q_s}$ - průměrné plášťové tření

L – délka piloty

d_p – průměr piloty v patě

Sedání nezatížená piloty s_y

$$s_y = I \frac{R_{sy}}{\bar{d} \cdot \bar{E}_s}$$

I - příčinkový koeficient sedání piloty

\bar{R}_{sy} - zatížení na mezi plné mobilizaci plášťového tření

\bar{d} - průměrný průměr piloty

\bar{E}_s - Průměrný sečnový modul deformace

Průměrný sečnový moduly deformace \bar{E}_s

$$\bar{E}_s = \frac{\sum E_{si} \cdot l_i}{\sum l_i}$$

E_{si} – sečnový modul deformace viz. program č. 2

l_i – mocnost i-té vrstvy

Sečnové moduly deformace E_s /MPa/ pro piloty v horninách Sečnové moduly deformace E_s /MPa/ pro piloty v nesoudržných zeminách

h (m)	d (m)								
	0,6			1			1,5		
	R-3	R-4	R-5	R-3	R-4	R-5	R-3	R-4	R-5
1,5	50,3	28,2	20,0	72,3	35,0	24,7	85,5	33,5	22,3
3	64,5	43,1	30,8	105,5	57,3	41,0	138,3	58,8	41,2
5	–	58,2	41,3	–	75,3	54,8	–	87,9	63,7
10	–	87,5	61,6	–	114,5	83,2	–	133,0	97,0

h (m)	d (m)								
	0,6			1			1,5		
	I_D								
	0,5	0,7	1	0,5	0,7	1	0,5	0,7	1
1,5	11,0	13,7	28,3	12,8	15,8	30,6	13,0	15,3	29,0
3	15,5	20,2	44,5	18,4	25,0	47,8	19,4	24,5	52,5
5	18,8	26,6	56,1	22,8	32,5	69,1	24,5	36,0	78,2
10	23,8	36,6	72,1	29,8	47,8	93,4	32,6	54,0	107,3

Sečnové moduly deformace E_s /MPa/ pro piloty v soudržných zeminách

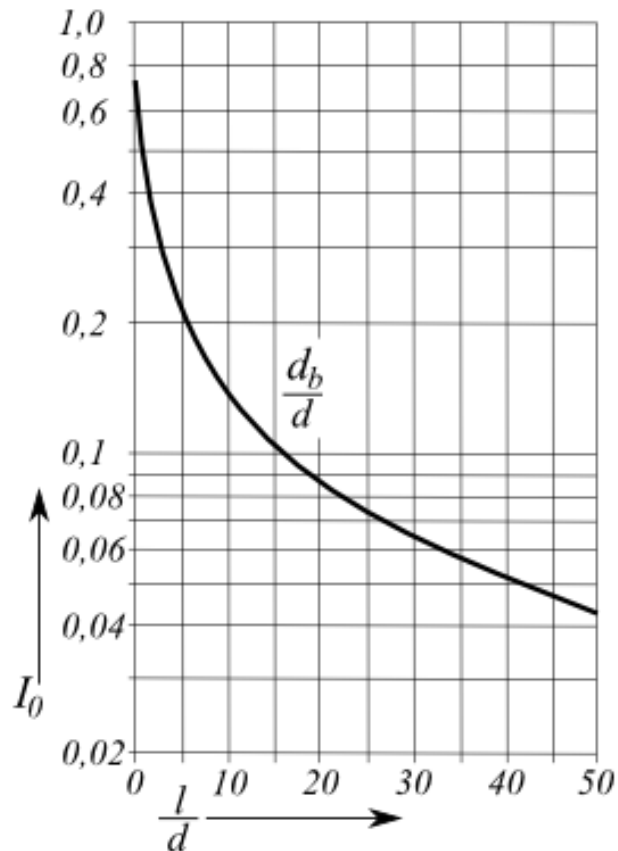
h (m)	d (m)					
	0,6		1		1,5	
	I_c					
	0,5	≥ 1	0,5	≥ 1	0,5	≥ 1
1,5	6,9	13,2	7,9	13,4	8,6	12,3
3	10,0	22,0	12,5	23,9	13,7	23,0
5	12,5	31,2	15,9	33,4	18,4	36,7
10	15,5	44,3	21,3	51,3	24,6	57,4

Příčinkový koeficient sedání piloty I

Viz program č. 2

$$I = I_1 \cdot R_k$$

I_1 – součinitel vlivu stlačení pružného poloprostoru [-] Obr. 1. a



l – délka piloty [m]

\bar{d} – průměrný průměr piloty [m] $\bar{d} = \frac{\sum d_i \cdot l_i}{l_i}$

d_i – průměr piloty v i-té vrstvě

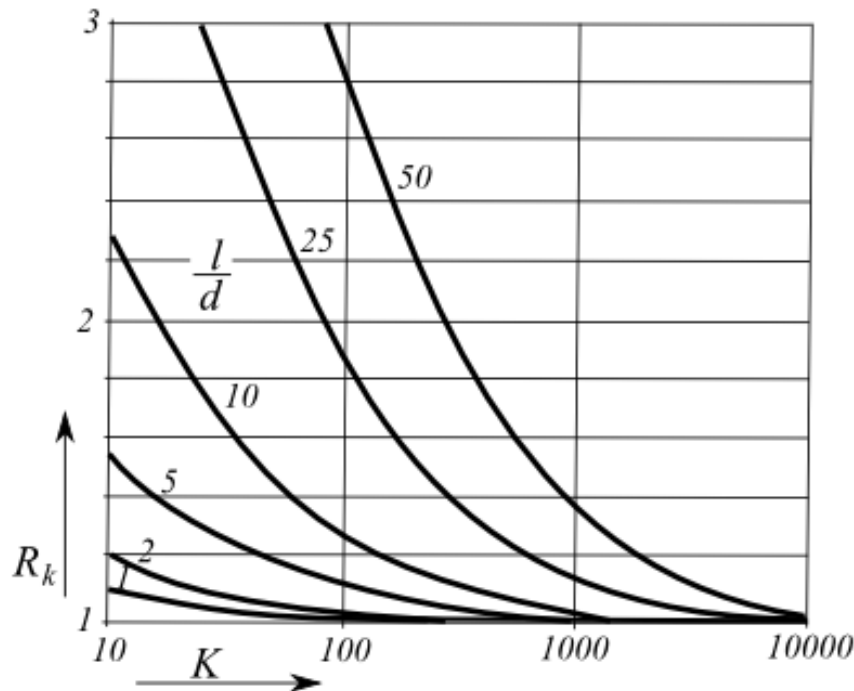
l_i – mocnost i-té vrstvy

Příčinkový koeficient sedání piloty I

Viz program č. 2

$$I = I_1 \cdot R_k$$

R_k – opravný součinitel vlivu stlačitelnosti dřívku na stlačení poloprostoru [-] Obr. 1. b



l – délka piloty [m]

\bar{d} – průměrný průměr piloty [m] $\bar{d} = \frac{\sum d_i \cdot l_i}{l_i}$

d_i – průměr piloty v i-té vrstvě

l_i – mocnost i-té vrstvy

K – poměr modulů pružnosti materiálu pilotu a sečnového modulu zeminy

$$K = \frac{E_b}{E_s}$$

E_b - modul pružnosti materiálu piloty

\bar{E}_s – Průměrný sečnový modul deformace

Sedání piloty pro zatížení R

Mezní síla v patě R_{pu}

$$R_{pu} = \beta \cdot R_{sy} \frac{s_{25}}{s_y}$$

β – koeficient přenosu zatížení do paty

R_{sy} - zatížení na mezi plné mobilizaci plášťového tření

s_{25} – sednutí odpovídající 25 mm $s_{25}=25$ mm

s_y - sedání nezatížené piloty

Celková mezní síla R_{bu}

$$R_{bu} = R_{pu} + R_{su}$$

R_{su} - mezní síla na plášti

R_{pu} - mezní síla v patě

Sedání piloty pro zatížení R

První zatěžovací větev pro obor hodnot $0 \leq R \leq R_{sy}$

$$s = s_y \left(\frac{R}{R_{sy}} \right)$$

Druhá zatěžovací větev pro obor hodnot $R_{sy} \leq R \leq R_{bu}$

$$s = s_y + \left(\frac{s_{25} - s_y}{R_{bu} - R_{sy}} \right) (R - R_{sy})$$

s_y - sedání nezatížené piloty

R_{sy} - zatížení na mezi plné mobilizaci plášťového tření

s_{25} – sednutí odpovídající 25 mm $s_{25}=25$ mm

R_{bu} - celková mezní síla

R – zatížení piloty

Sedání nezatížená piloty s_y podle Bažanta

$$s_y = I_{sa} \frac{R_{su}}{\bar{d} \cdot \bar{E}_{def}}$$

I_{sa} - příčinkový koeficient sedání piloty podle Bažanta

R_{su} - zatížení na mezi plné mobilizaci plášťového tření

\bar{d} – průměrný průměr piloty

\bar{E}_s – Průměrný deformační modul

Výpočet sedání podle Bažanta

Průměrný deformační modul \overline{E}_{def}

$$\overline{E}_{def} = \frac{\sum E_{defi} \cdot l_i}{\sum l_i}$$

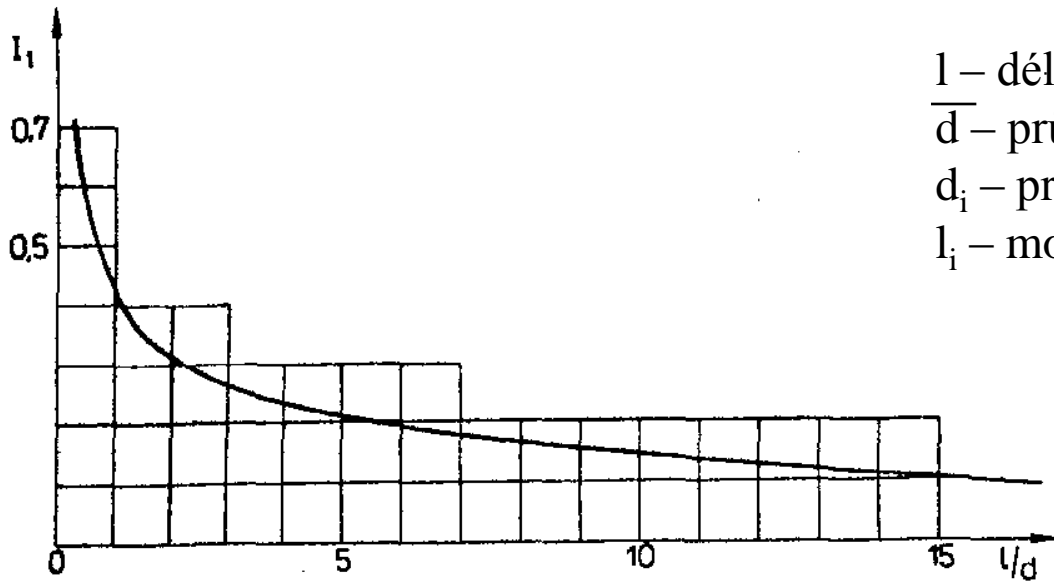
E_{defi} – deformační modul

l_i – mocnost i-té vrstvy

Příčinkový koeficient sedání piloty I_{sa} podle Bažanta

$$I_s = I_1 \cdot R_k \cdot R_{hA}$$

I_1 – součinitel vlivu stlačení pružného poloprostoru



l – délka piloty [m]

\bar{d} – průměrný průměr piloty [m] $\bar{d} = \frac{\sum d_i \cdot l_i}{l_i}$

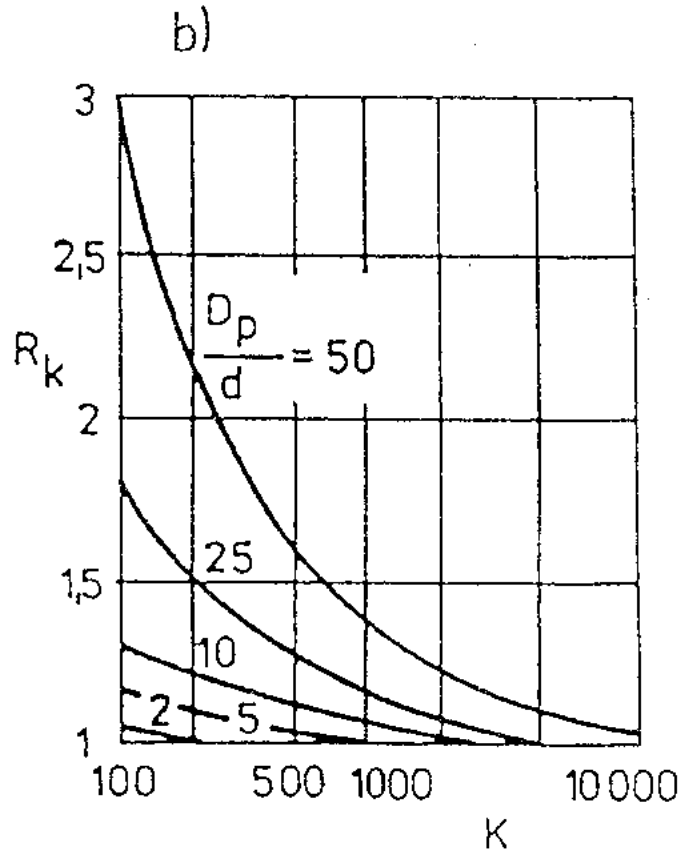
d_i – průměr piloty v i -té vrstvě

l_i – mocnost i -té vrstvy

Příčinkový koeficient sedání piloty I_{sa} podle Bažanta

$$I_{sa} = I_1 \cdot R_k \cdot R_{hA}$$

R_k – opravný součinitel vlivu stlačitelnosti dřívku na stlačení poloprostoru [-] Obr. 1. b



D_p – délka piloty [m]
 \bar{d} – průměrný průměr piloty [m] $\bar{d} = \frac{\sum d_i \cdot l_i}{l_i}$
 d_i – průměr piloty v i-té vrstvě
 l_i – mocnost i-té vrstvy
 K – poměr modulů pružnosti materiálu pilotu a sečnového modulu zeminy

$$K = \frac{E_b}{E_s}$$

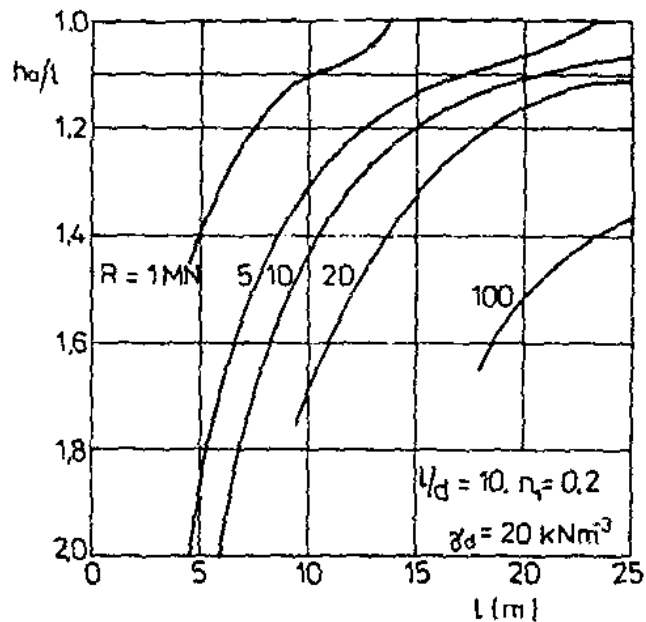
E_b - modul pružnosti materiálu piloty

\bar{E}_s – Průměrný sečnový modul deformace

Příčinkový koeficient sedání piloty I_{sa} podle Bažanta

$$I_{sa} = I_1 \cdot R_k \cdot R_{hA}$$

h_{hA}/l – určení poměru hloubky založení piloty i s připočtenou deformační zónou ku hloubce založení



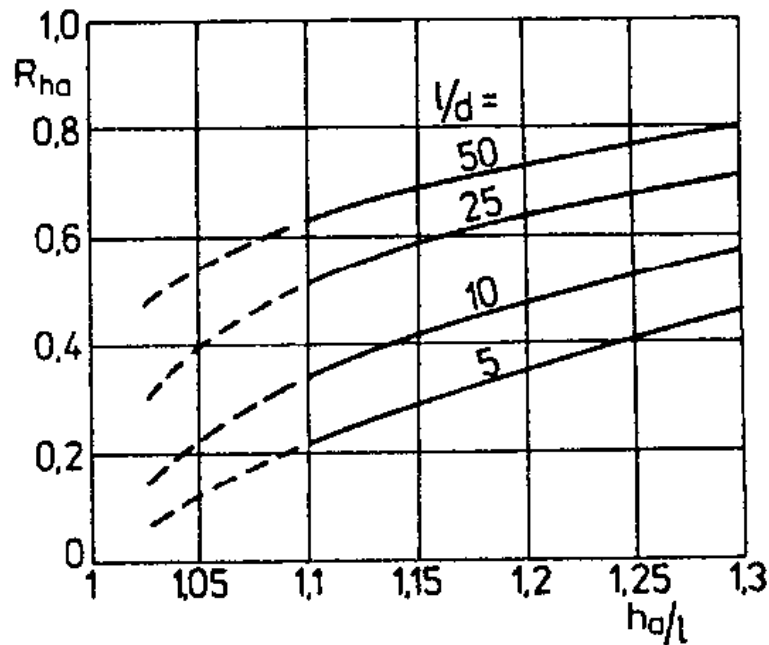
l – hloubka založení piloty

R – zatížení piloty

Příčinkový koeficient sedání piloty I_{sa} podle Bažanta

$$I_{sa} = I_1 \cdot R_k \cdot R_{hA}$$

R_{hA} – koeficient vlivu nestlačitelné vrstvy



l – hloubka založení piloty

h_{hA}/l – poměru hloubky založení piloty i s
připočtenou deformační zónou ku
hloubce založení

\bar{d} – průměrný průměr piloty

Sedání piloty pro zatížení R

První zatěžovací větev pro obor hodnot $0 \leq R \leq R_{sy}$

$$s = s_y \left(\frac{R}{R_{sy}} \right)$$

Druhá zatěžovací větev pro obor hodnot $R_{sy} \leq R \leq R_{bu}$

$$s = s_y + \left(\frac{s_{25} - s_y}{R_{bu} - R_{sy}} \right) (R - R_{sy})$$

s_y - sedání nezatížené piloty

R_{sy} - zatížení na mezi plné mobilizaci plášťového tření

s_{25} – sednutí odpovídající 25 mm $s_{25}=25$ mm

R_{bu} - celková mezní síla

R – zatížení piloty

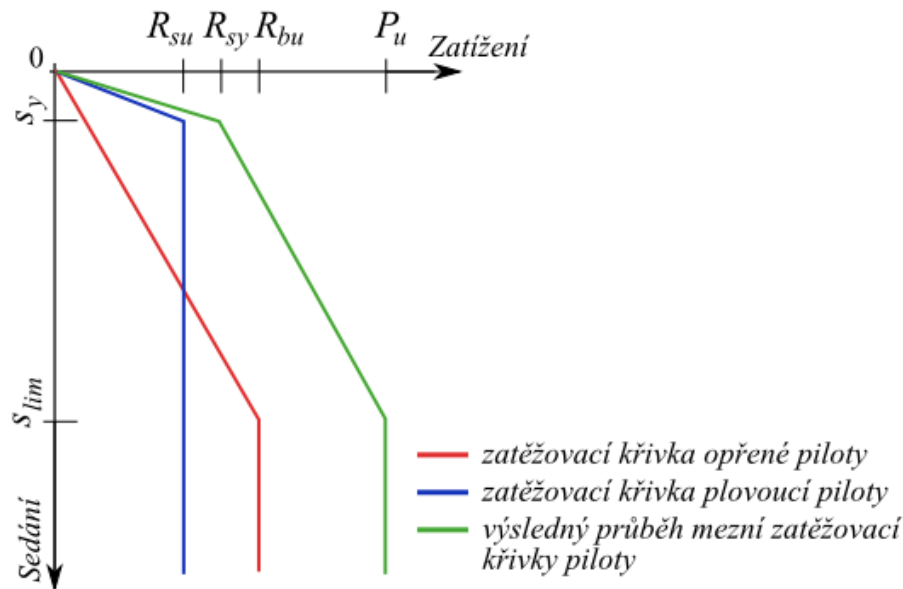
Lineární teorie (Poulos)

Výpočet mezní zatěžovací křivky osamělé piloty, resp. skupiny pilot vychází z řešení popsaného v knize Pile Foundations Analysis and Design (H. G. Poulos et. E. H. Davis, 1980) a je založena na teorii pružného poloprostoru a modifikaci na základě měření pomocí in-situ. Základová půda je tedy popsána modulem pružnosti E a Poissonovým číslem ν . Tato metoda umožňuje stanovit mezní zatěžovací křivku pro pilotové základy (osamělá pilota, skupina pilot).

Lineární teorie (Poulos)

Základním vstupem výpočtu je únosnost piloty v patě R_{bu} a únosnost piloty na plášti R_{su} . Mezní únosnost, resp. zatížení piloty lze vyjádřit vztahem $P_u = R_{su} + R_{bu}$. Tyto hodnoty program získá na základě výpočtu svislé únosnosti osamělé piloty, resp. skupiny pilot v závislosti na zadané metodě výpočtu. Všechny dílčí součinitele výpočtu jsou uvažovány hodnotou 1.0, takže výsledný odpor je větší než spočtený při výpočtu svislé únosnosti.

Při výpočtu sedání osamělé piloty, podle Poulosa (1980) se neuvažuje vliv pružného zkrácení dřívku piloty - vlastní deformace materiálu piloty se tedy zanedbává.



Síla na mezi mobilizace plášťového tření R_{sy}

$$R_{sy} = \frac{R_s}{1 - \beta}$$

R_s - únosnost na plášti piloty [N]

β - koeficient přenosu zatížení do paty piloty [-]

Koeficient přenosu zatížení do paty piloty β

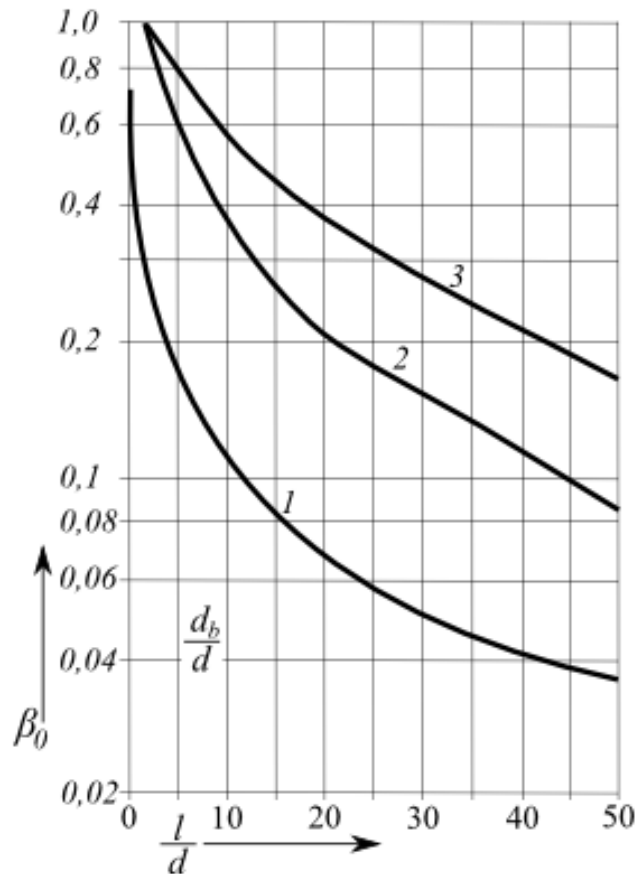
$$\beta = \beta_0 \cdot C_k \cdot C_b \cdot C_v$$

- β_0 - součinitel přenosu nestlačitelné piloty
- C_k - opravný součinitel tuhosti piloty
- C_v - opravný součinitel vlivu Poissonova čísla zeminy
- C_b - opravný součinitel tuhosti zeminy

Koeficient přenosu zatížení do paty piloty β

$$\beta = \beta_0 \cdot C_k \cdot C_b \cdot C_v$$

β_0 - součinitel přenosu nestlačitelné piloty



1 – délka piloty

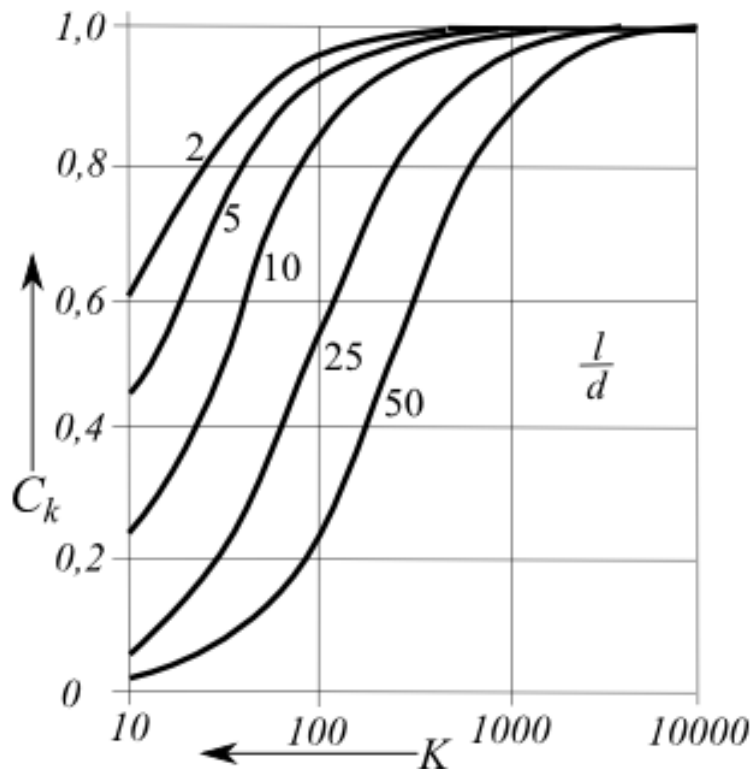
d – průměr piloty

d_b – průměr piloty v patě

Koeficient přenosu zatížení do paty piloty β

$$\beta = \beta_0 \cdot C_k \cdot C_b \cdot C_v$$

C_k - Opravný součinitel tuhosti piloty



l – délka piloty

d – průměr piloty

K – poměr modulů pružnosti materiálu piloty a sečnového modulu zeminy

$$K = \frac{E_b}{E_s}$$

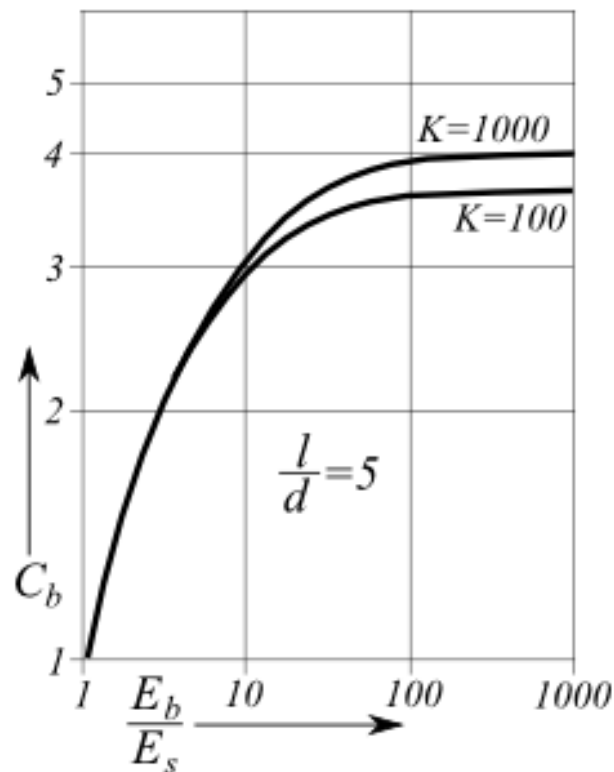
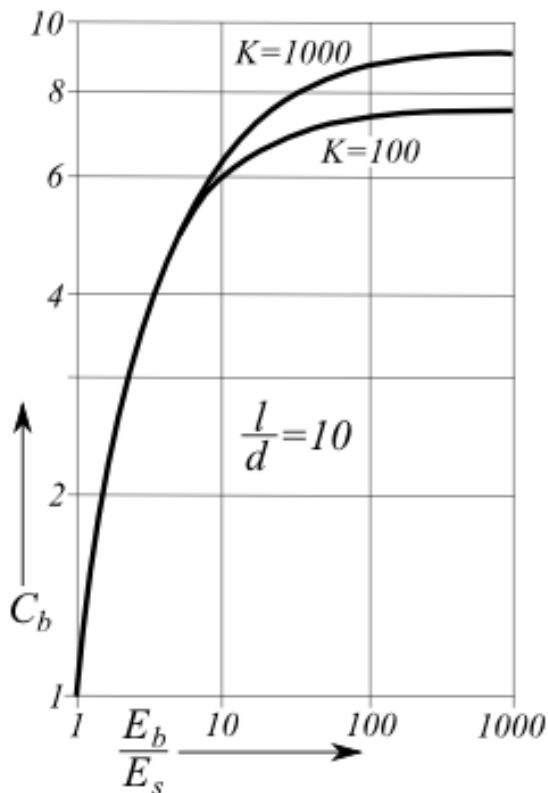
E_b - modul pružnosti materiálu piloty

E_s – Průměrný sečnový modul deformace

Koeficient přenosu zatížení do paty piloty β

$$\beta = \beta_0 \cdot C_k \cdot C_b \cdot C_v$$

C_b - Opravný součinitel tuhosti zeminy



l – délka piloty
d – průměr piloty
K – poměr modulů pružnosti materiálu pilotu a sečnového modulu zeminy

$$K = \frac{E_b}{E_s}$$

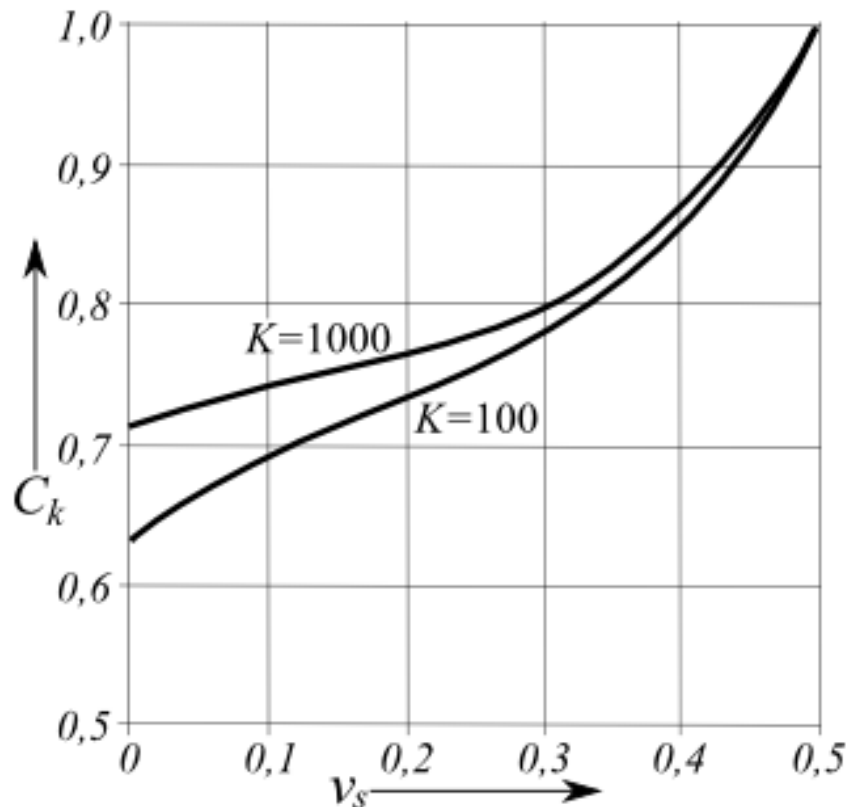
E_b - modul pružnosti materiálu piloty

E_s – Průměrný sečnový modul deformace

Koeficient přenosu zatížení do paty piloty β

$$\beta = \beta_0 \cdot C_k \cdot C_b \cdot C_v$$

C_v - Opravný součinitel vlivu Poissonova čísla zeminy



ν_k - Poissonovo číslo okolní zeminy
 K - poměr modulů pružnosti materiálu pilotu a sečnového modulu zeminy

$$K = \frac{E_b}{E_s}$$

E_b - modul pružnosti materiálu piloty

E_s - Průměrný sečnový modul deformace

Sedání s_y na mezi mobilizace plášťového tření R_{sy}

$$s_y = \frac{I.R_{sy}}{d.E_s}$$

- I příčinkový součinitel sedání piloty [-]
- E_s průměrná hodnota sečnového modulu deformace zeminy podél dříku piloty [MPa]
- d průměr piloty [m]
- R_{sy} zatížení, resp. síla na mezi mobilizace plášťového tření [N]

Příčinkový součinitel sedání /

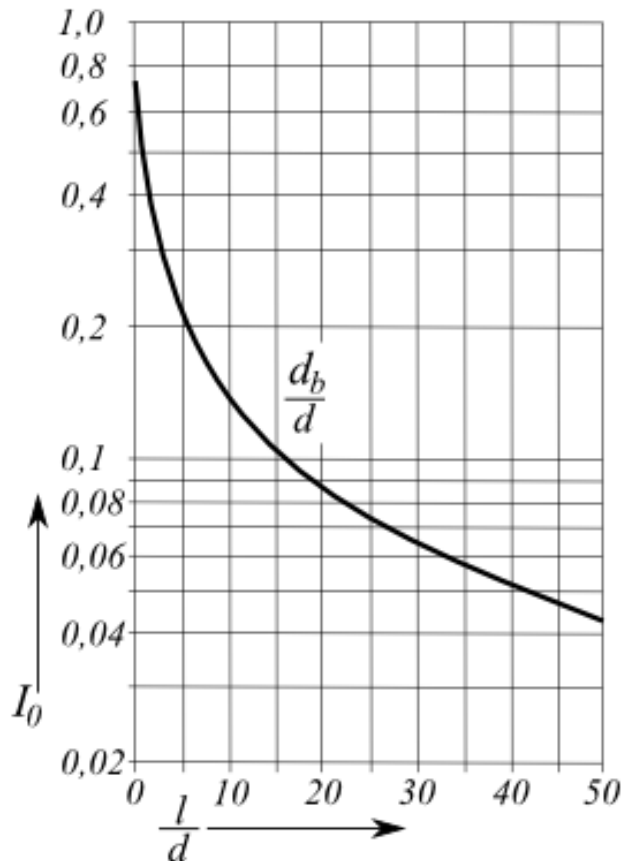
$$I = I_0 R_k R_b R_v$$

- I_0 základní příčinkový součinitel sedání
- R_k korekční součinitel tuhosti piloty
- R_b korekční součinitel tuhosti únosné zeminy
- R_v korekční součinitel Poissonova čísla

Příčinkový součinitel sedání /

$$I = I_0 R_k R_b R_v$$

I_0 - základní příčinkový součinitel sedání



l – délka piloty

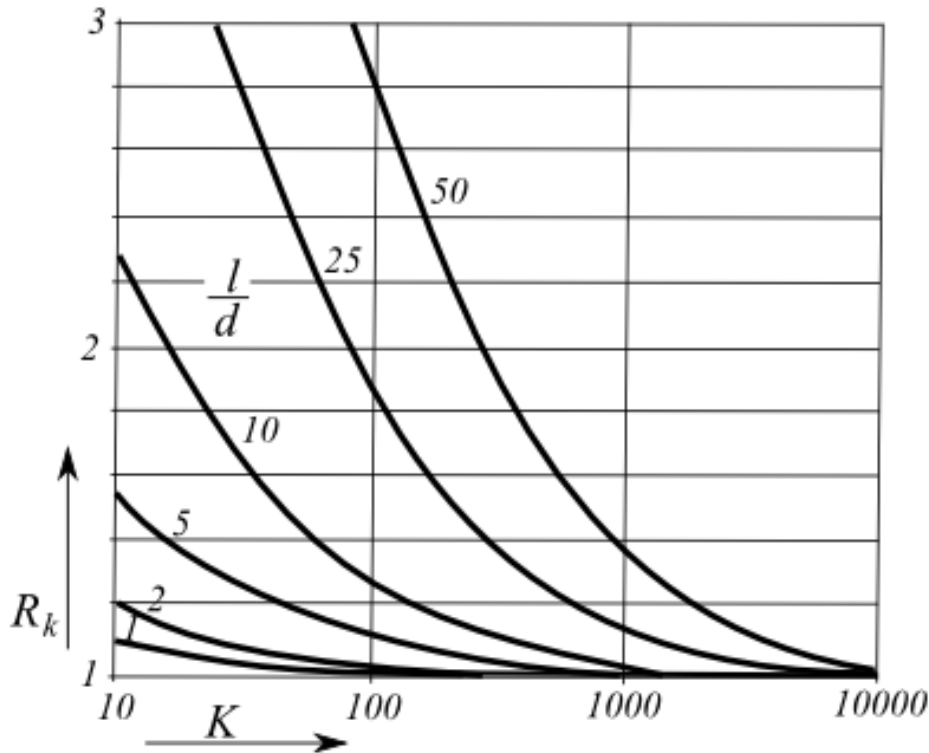
d – průměr piloty

d_b – průměr piloty v patě

Příčinkový součinitel sedání /

$$I = I_0 R_k R_b R_v$$

R_k - Korekční součinitel tuhosti piloty



l – délka piloty

d – průměr piloty

K – poměr modulů pružnosti materiálu piloty a sečnového modulu zeminy

$$K = \frac{E_b}{E_s}$$

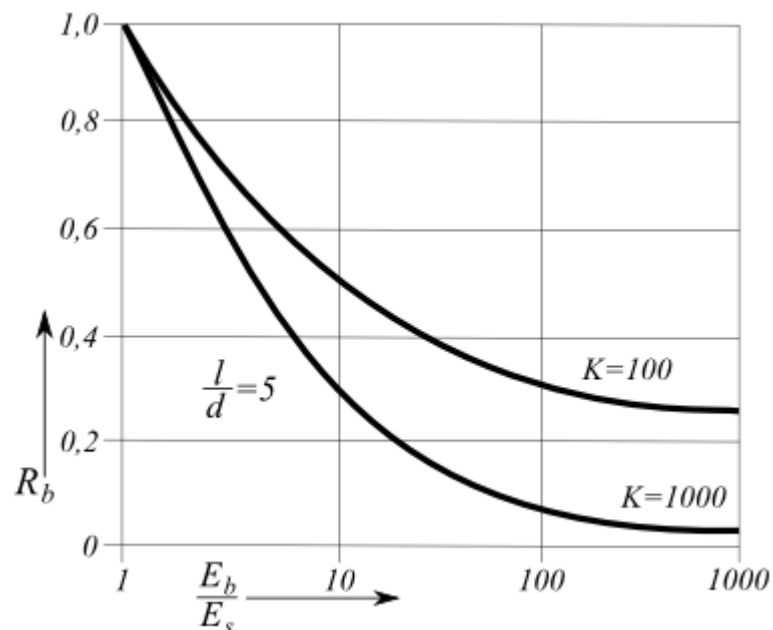
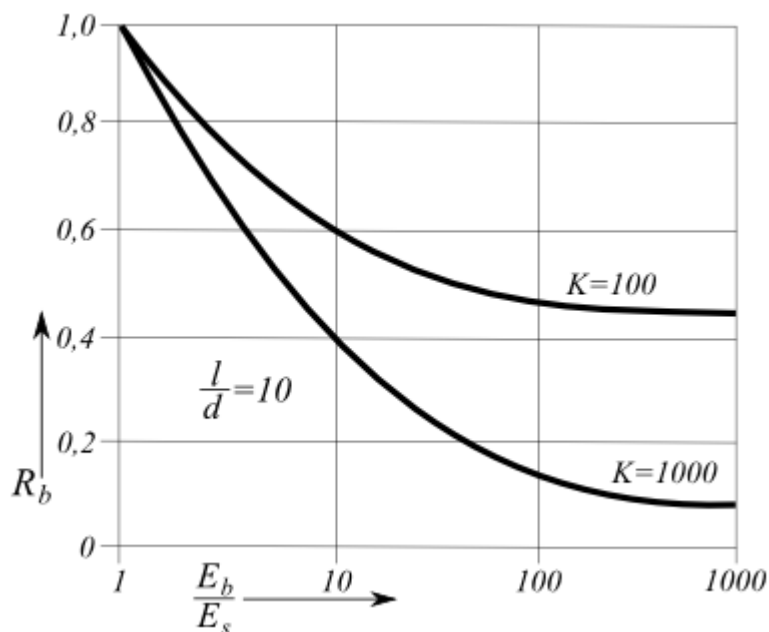
E_b - modul pružnosti materiálu piloty

E_s – Průměrný sečnový modul deformace

Příčinkový součinitel sedání /

$$I = I_0 R_k R_b R_v$$

R_b - Korekční součinitel tuhosti únosné zeminy



l – délka piloty

d – průměr piloty

K – poměr modulů pružnosti materiálu piloty a sečnového modulu zeminy

E_b - modul pružnosti materiálu piloty

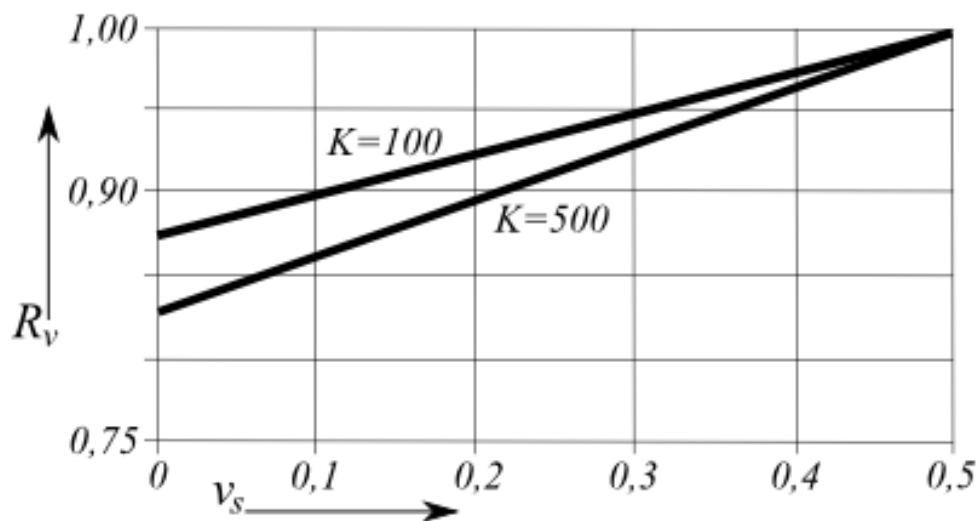
E_s – Průměrný sečnový modul deformace

$$K = \frac{E_b}{E_s}$$

Příčinkový součinitel sedání /

$$I = I_0 R_k R_b R_v$$

R_v - Korekční součinitel Poissonova čísla



v_k - Poissonovo číslo okolní zeminy
 K - poměr modulů pružnosti materiálu piloty
a sečnového modulu zeminy

$$K = \frac{E_b}{E_s}$$

E_b - modul pružnosti materiálu piloty

E_s - Průměrný sečnový modul deformace

Celkové limitní sedání s_{lim}

$$s_{lim} = \frac{I \cdot R_{bu}}{\beta \cdot d \cdot E_s}$$

I příčinkový součinitel sedání piloty [-]

R_{bu} velikost maximální síly (mezní únosnost) přenášená patou piloty [N]

β koeficient přenosu zatížení do paty piloty [-]

d průměr piloty [m]

E_s průměrná hodnota sečnového modulu deformace zeminy podél dřívku piloty [MPa]

Příklad

Sedání piloty (výpočtová únosnost pilot zahloubených do stlačitelného podloží)

Geologický profil:

- 0,0-0,8: navážka+násyp (úprava staveniště)
- 0,8-1,5: jílovitá hlína písčitá, měkká
- 1,5-5,3: hrubozrnný písek jílovitý, zvodnělý, středně ulehlý, $I_D=0,7, E_{def}=18,5$ MPa
- 5,3-6,7: pevný slín se střípky slínovců, $I_C=1, E_{def}=8$ MPa
- 6,7-9,0: navětralý slínovec tvrdý, R5, $E_{def}=31,5$ Mpa

Materiál piloty $E_b=23$ GPa

Navrženy rotačně vrtané piloty pažené do slínů profilem 1220 mm pomocí ocelové výpažnice a dovrtné bez pažení profilem 1070 mm. Celková délka piloty 8,5 m. Horní 2 vrstvy jsou považovány za neúnosné.

Délka piloty: $L=8,5$ m

Zatížení: $R=2,12$ MN

Příklad

Vzdálenost od středu i-té vrstvy k povrchu terénu:

$$D_1 = 0,6 + 0,7 + 3,8 / 2 = 3,4$$

$$D_2 = 0,6 + 0,7 + 3,8 + 1,4 / 2 = 6$$

$$D_3 = 0,6 + 0,7 + 3,8 + 1,4 + 1,8 / 2 = 6$$

1) Plášťové tření pro danou zeminu q_{si} :

$$q_{si} = a_i - \frac{b_i}{\frac{D_i}{d_i}}$$

a_i, b_i – regresní koeficienty pro typy zemin viz. Obr.2

D_i – Vzdálenost od středu i-té vrstvy k povrchu terénu

d_i – průměr piloty v i-té vrstvě

$$q_{s1} = a_1 - \frac{b_1}{\frac{D_1}{d_1}} = 91,22 - \frac{48,44}{\frac{3,4}{1,22}} = 73,839$$

$$q_{s2} = a_2 - \frac{b_2}{\frac{D_2}{d_2}} = 97,31 - \frac{108,59}{\frac{6}{1,07}} = 77,945$$

$$q_{s3} = a_3 - \frac{b_3}{\frac{D_3}{d_3}} = 131,92 - \frac{94,96}{\frac{7,6}{1,07}} = 118,551$$

Průměrné plášťové tření

Vážený průměr jako váha bráno mocnost i-té vrstvy (l_i) a průmět piloty v i-té vrstvě (d_i):

$$\bar{q}_s = \frac{\sum d_i \cdot l_i \cdot q_{si}}{\sum d_i \cdot l_i} = \frac{3,8 \cdot 1,22 \cdot 73,839 + 1,4 \cdot 1,07 \cdot 77,945 + 1,8 \cdot 1,07 \cdot 118,551}{3,8 \cdot 1,22 + 1,4 \cdot 1,07 + 1,8 \cdot 1,07} = 85,286$$

Příklad

2) Napětí na patě q_p :

$$q_p = e - \frac{f}{\frac{L}{d_p}}$$

e, f – regresní koeficienty pro typy zemin viz. Obr.2

L – délka piloty

d_p – průměr piloty v patě

$$q_p = e - \frac{f}{\frac{L}{d_p}} = 957,61 - \frac{703,89}{\frac{8,5}{1,07}} = 869,003$$

3) Koeficient přenosu zatížení do paty:

$$\beta = \frac{q_p}{q_p + 4\bar{q}_s \cdot \frac{L}{d_p}} = \frac{869,003}{869,003 + 4 \cdot 85,286 \cdot \frac{8,5}{1,07}} = 0,243$$

Příklad

4) Mezní síla na plášti:

$$R_{su} = m_1 \cdot m_2 \cdot \pi \sum d_i \cdot l_i \cdot q_{si}$$

m_1 - koeficient druhu zatížení:

$m_1=1$ pro zatížení experimentální V_{de}

$m_1=0,7$ pro zatížení provozní V_{ds}

m_2 - koeficient eventuální ochrany dřívku:

$m_2=1$ ochrana není aplikována

$m_2=0,7$ ponechám ochranou PVC folii o tloušťce 0,7mm

$m_2=0,5$ ponechám folii nebo pletivo (systém B)

$m_2=0,15$ ocelová pažnice

$$R_{su} = m_1 \cdot m_2 \cdot \pi \sum d_i \cdot l_i \cdot q_{si} = 0,7 \cdot 1 \cdot \pi \cdot (1,22 \cdot 3,8.73,839 + 1,07 \cdot 1,4.77,945$$

$$+ 107 \cdot 1,8.118,551)$$

$$= 1511,69 \text{ kN}, 8 - 73,839 + 1,07 - , 07 - 1,4. ii o tloušť$$

5) Zatížení na mezi plné mobilizaci plášťového tření:

$$R_{sy} = \frac{R_{su}}{1 - \beta} = \frac{1511,69}{1 - 0,243} = 1996,95$$

Příklad

6) Sečnové moduly deformací

$$\bar{E}_s = \frac{\sum E_{si} \cdot l_i}{\sum l_i}$$

$E_{S1} = 28,484$ získáno lineární interpolací hodnot z tab. 1 viz. Program č.2

$E_{S2} = 13,372$ získáno lineární interpolací hodnot z tab. 1 viz. Program č.2

$E_{S2} = 27,758$ získáno lineární interpolací hodnot z tab. 1 viz. Program č.2

$$\bar{E}_s = \frac{\sum E_{si} \cdot l_i}{\sum l_i} = \frac{28,454 \cdot 3,8 + 13,372 \cdot 1,4 + 27,758 \cdot 1,8}{3,8 + 1,4 + 1,8} = 25,275$$

7) Tuhost k

$$K = \frac{E_b}{\bar{E}_s} = \frac{23000}{25,275} = 909,99$$

$$\frac{L}{\bar{d}} = \frac{8,5}{1,167} = 7,284 \text{ viz. Obr. 1b) viz. Program č. 2} \Rightarrow R_K = 1,005$$

Vliv stlačení pružného poloprostoru I_1 :

$$\frac{L}{\bar{d}} = \frac{8,5}{1,167} = 7,284 \text{ viz. Obr. 1a) viz. Program č. 2} \Rightarrow I_1 = 0,145$$

Příčinkový koeficient sedání piloty I:

$$I = I_1 \cdot R_K = 0,179 \cdot 1,005 = 0,18$$

Příklad

8) Sedání:

Vážený průměr z průměrů piloty

$$\bar{d} = \frac{\sum d_i \cdot l_i}{\sum l_i} = \frac{1,225,5 + 1,073}{8,5} = 1,167$$

$$S_y = I \frac{R_{sy}}{\bar{d} \cdot E_s} = 0,18 \frac{1996,95}{1,167 \cdot 25,275} = 12,186 \text{ mm}$$

9) Sedání piloty pro zatížení R

Mezní síla v patě R_{pu} :

$$R_{pu} = \beta \cdot R_{sy} \frac{s_{25}}{s_y} = 0,243 \cdot 1996,95 \frac{25}{12,186} = 995,176$$

$$R_{bu} = R_{pu} \cdot R_{su} = 995,176 + 1511,69 = 2506,866$$

$$R = 2,12 \text{ MN}$$

Sedání piloty pro zatížení R

$$s = s_y \left(\frac{R}{R_{sy}} \right)$$

pro obor hodnot $0 \leq R \leq R_{sy} \Rightarrow 0 \leq 2120 \leq 1996,95 \Rightarrow$ nevyhovující podmínce

$$s = s_y + \frac{s_{25} - s_y}{R_{bu} - R_{sy}} (R - R_{sy})$$

pro obor hodnot $R_{sy} \geq R \geq R_{bu} \Rightarrow 1996,95 \geq 2120 \geq 2506,866 \Rightarrow$ vyhoví podmínce

$$s = s_y + \frac{s_{25} - s_y}{R_{bu} - R_{sy}} (R - R_{sy}) = 12,186 + \frac{25 - 12,186}{2506,866 - 1996,95} (2120 - 1996,95) \\ = 15,278 \text{ mm}$$

Příklad

10) Výpočet sednutí podle Bažanta

Vážený průměr deformačních modulů:

$$\overline{E}_{def} = \frac{\sum E_{defi} \cdot l_i}{\sum l_i} = \frac{18,5 \cdot 3,8 + 8 \cdot 1,4 + 31,5 \cdot 1,8}{3,8 + 1,4 + 1,8} = 19,743$$

11) Příčinkový koeficient sedání

$$I_{sa} = I_1 \cdot R_k \cdot R_{ha}$$

Součinitel R_{ha} koeficient vlivu nestlačitelné vrstvy :

$\frac{h_A}{L}$ – poměr hloubky založení piloty i s připočtením deformační zóny ku hloubce založení viz Obr.4.

$$\frac{h_A}{L} = 1,181 \quad I_{sa} = I_1 \cdot R_k \cdot R_{ha} = 1,005 \cdot 0,179 \cdot 0,456 = 0,082$$

12) Sedání:

$$S_y = I_{sa} \frac{R_{sy}}{\bar{d} \cdot \overline{E}_{def}} = 0,082 \frac{1996,95}{1,167 \cdot 19,743} = 7,107 \text{ mm}$$

Příklad

13) Sedání piloty pro zatížení R

$$s = s_y \left(\frac{R}{R_{sy}} \right)$$

pro obor hodnot $0 \leq R \leq R_y \Rightarrow 0 \leq 2120 \leq 1996,95 \Rightarrow$ nevyhovující podmínce

$$s = s_y + \frac{s_{25} - s_y}{R_{bu} - R_{sy}} (R - R_{sy})$$

pro obor hodnot $R_y \geq R \geq R_{bu} \Rightarrow 1996,95 \geq 2120 \geq 2506,866 \Rightarrow$ vyhoví podmínce

$$s = s_y + \frac{s_{25} - s_y}{R_{bu} - R_{sy}} (R - R_{sy})$$

$$= 7,107 + \frac{25 - 7,107}{2506,866 - 1996,95} (2120 - 1996,95) = 11,425 \text{ mm}$$

Příklad

14) Závěr:

Vypočtené sedání piloty zahloubené do stlačitelného podloží pro zatížení daným zatížením činí 15,278 mm. Vypočtené sedání piloty zahloubené do stlačitelného podloží pro zatížení daným zatížením podle Bažanta činí 11,425 mm.

Jelikož nebyla splněna podmínka pro výpočet sednutí pomocí vzorce